

ОБЪЕДИНЕННЫЙ
ИНСТИТУТ
ЯДЕРНЫХ
ИССЛЕДОВАНИЙ

Дубна

96-2-228

P1-95-289

В.В.Белага, А.И.Бондаренко¹, Д.А.Каршиев¹,
Е.Н.Кладницкая, А.А.Кузнецов, М.М.Муминов (мл.),
Г.П.Тонеева, Г.М.Чернов, Б.С.Юлдашев¹

ФРАГМЕНТАЦИОННЫЕ ХАРАКТЕРИСТИКИ
РЕЛЯТИВИСТСКОГО ЯДРА УГЛЕРОДА
ПРИ ЕГО ВЗАИМОДЕЙСТВИИ С ВОДОРОДОМ

Направлено в журнал «Ядерная физика»



¹Институт ядерной физики АН Узбекистана, Ташкент



а 1 9 9 6 0 0 1 а

1995

1 Введение

Появление ускорителей тяжелых ионов на релятивистские энергии в 70-е годы открыло новый экспериментальный раздел ядерной физики возможностей ядер при малых и средних импульсах с ядрами. При регистрации осколков от расщепления ядер, имеющих околосветовые скорости в лабораторной системе (л.с.), хакис-либо непротивные ограничения отсутствуют, что сильно облегчает задачу идентификацию осколков с любыми массами и/или зарядами. Изучение фрагментации релятивистских ядер-снарядов стало в последнее время одним из популярных направлений в области релятивистской ядерной физики. Настоящая работа посвящена изучению общих характеристик фрагментации ядра углерода-12 на свободном водороде при первичном импульсе $p_0 = 4.21 \text{ GeV}/c$ на ячейку. Подобные работы, число которых крайне невелико, дают информацию о ряде характеристик протон-ядерных взаимодействий в антилабораторной системе координат (а.л.с.), трубо (или вовсе не) измеряемых в экспериментах с ядрами, покоящимися в л.с. Фрагментационные характеристики релятивистских ядер при их взаимодействиях с водородом представляют также исключительный интерес для одной из важных проблем астрофизики - прохождения потоков частиц через межзвездную среду.

2 Об отборе соударений с водородом на ($C-C_3H_8$)-взаимодействии

1. Неупругих взаимодействиях с ядрами, входящими в состав проплана, на полном экспериментальном материале, находившемся на настоящем времени. В этой же работе были описаны детали выполненных измерений, методика выделения спектагорных фрагментов ядра-снаряда, разделение однозарядных фрагментов на протоны, дейтероны и тритоны (p, d, t соответственно) и другие методические особенности эксперимента с двухметровой проплановой пузырьковой камерой.
2. Важное значение для целей настоящей работы имеет методика выделения событий на водороде из полного набора взаимодействий с мишенью сложного состава. Как известно, совершенно строгих "рецептов" выделения столкновений с мишенью определенного типа в таких случаях не существует вследствие больших флуктуаций в характеристиках процессов множественного рождения частиц и фрагментации ядер. Тем не менее методология такого разделения рассматривалась и использовалась в ряде работ; для экспериментов с двухметровой проплановой пузырьковой камерой критерии отбора событий на углероде и водороде мишени рассматривались, в частности, в работах [5, 6].
3. В работе [5] для выделения CC -взаимодействий из ($C-C_3H_8$)-событий, зарегистрированных в проплановой камере, были предложены следующие критерии отбора:
 1. $n_+ - n_- > z_c + 1 = 7$. Здесь $n_+(n_-)$ - число положительных (отрицательных) частиц в событии, z_c - заряд ядра ^{12}C . Критерий 1 - очевидное следствие закона сохранения электрического заряда в соударении.
 2. $n_p(\theta > \pi/2) > 0$, где n_p - число протонов в событии; выпадает протона отдачи впереднюю полусферу - обязательное следствие кинематики pp -соударения.
 3. $n_p(p_{\text{раб}} < 0.75 \text{ GeV}/c) > 1$. Это неравенство - следствие малой вероятности образования > 1 "медиенного" протона в СИ - соударения при рассматриваемой первичной энергии.
 4. $n_- > 2$. Это неравенство - следствие иммтрического рассмотрения имеющихся экспериментальных данных по pC - соударениям в а.л.с.

5. $m_t = \sum_i (\varepsilon_i - p_i \cos \theta_i) > \text{const} \cdot m_p$. При суммировании по всем вторичным частицам $\text{const} = 1$ и неравенство переносит в равенство (m_t - масса мишени, m_p - масса протона) для рР-с贯穿 (критерий Биргер-Смородина). Для отбора СС-с贯穿 значние const в последнем неравенстве должно быть выбрано на основе опытных данных. В работе [5] было выбрано значение $\text{const} = 1.1$; однако в [6] было показано, что критерий 5 при этом значениях постоянной работает крайне неэффективно, "пропуская" большое количество СН-событий. На основании данных [6] разумное значение этой постоянной должно быть увеличено до ~ 1.5 .

Несколько иной набор критериев разделения ядерно-ядерных и ядро-протонных с贯穿 был предложен в работе [7] (см. также ссылки в ней). Два из них (точнее, их аналоги) не были использованы в [5, 6]. Это - следующие критерии:

6. $Q < z_c$. Здесь Q - суммарный заряд "сохранившейся" (спектральной) части ядра-снаряда. Это неравенство - следствие быстрого уменьшения вероятности реализации рР-с贯穿 с увеличением числа ν нуклонов ядра-мишени, принимающих участие во взаимодействии.

7. $Q + n_s \geq 8$. Здесь n_s - число релятивистских частиц, исключая спектральные фрагменты ядра ^{12}C . Это полуэмпирическое неравенство - следствие ограниченностя числа n_h нейтральных заряженных частиц в аЛ.С. СН - с贯穿 ($n_h \leq 7$ в подавляющем большинстве этих событий).

При использовании критериев 1 - 7 отбора СС-с贯穿 в нашем случае следует иметь в виду, что в экспериментах с пропановой пульсовой камерой заряд фрагментов ядра ^{12}C с $z \geq 2$ не измерялся. Мы располагаем, таким образом, лишь нижней границей Q_{\min} величины Q (за исключением событий с тремя такими фрагментами или их отсутствием), определяемой как

$$Q_{\min} = 2n_f + n_{p,d,t}, \quad (1)$$

где n_f - число фрагментов с $z \geq 2$. Ясно, что в (1) предполагалось, что все фрагменты с $z \geq 2$ суть α -частицы.

Значение Q_{\min} можно использовать в неравенстве 7 вместо Q , при

том что указанное неравенство лишь усиливается. При использовании б-го

критерия заменять Q на Q_{\min} нельзя; этот критерий можно использовать

лишь для событий, в которых $n_f = 0$.

Приведем конечный результат применения критериев 1 - 7 (с указанными оговорками) к С-С₃H₈ с贯穿: они отбирают 21318 событий, являющихся с высокой вероятностью СС-с贯穿. Мы добавили к ним 121 событие "чистого" З₃-образования, интерпретируемые как случаи когерентной диссоциации $^{12}C \rightarrow 3\alpha$ на ядра углерода [8]. Таким образом, полное число событий СС-типа составляет 21439 или 54.3 % (С-С₃H₈) с贯穿, что хорошо согласуется с их долей в этом наборе, ожидаемой в соответствии со значениями неупругих сечений рС- и СС-с贯穿ий (53.2 %) [5, 6].

Остальные 18026 событий были отнесены нами к СН-с贯穿, которые и составляют предмет изучения в настоящей работе.

3 Множественность фрагментации

В нашем эксперименте уверенно идентифицировались многосаридные ($z \geq 2$) фрагменты ядра-снаряда. Среднее число этих фрагментов, (n_f), в событиях, идентифицируемых нами (см. предыдущий раздел) как СН-с贯穿, равно 1.21 ± 0.01 (табл. 1).

Значительно менее однозначна идентификация различных типов односаридных спектаторных фрагментов - протонов, дейtronов и тритонов. Довольно впечатительные погрешности в проведенных нами импульсных измерениях на треках односаридных релятивистских частиц приводят к заметному "перекрытию" измерений спектров для этих частич; к тому же его раздление осложняется наличием существенного фона от "несфрагментов" - провозаимодействовавших фрагментов снаряда и мишени, а также - рожденных частич.

На рис. 1 представлено распределение по обратным величинам (1/p) импульсов односаридных релятивистских частиц с $\theta \leq 5^\circ$ в отображен-

ных СИ-согласиях. Отчетливые максимумы при $1/p = 1/p_0$ и $1/2p_0$ соответствуют спектаторным протонам и дейtronам, разделение между нейtronами и тритонами, а также между спектаторными протонами и "нефрагментами" выражено исчезающе слабо.

Для определения чисел спектаторных p , d , t и "нефрагментов" среди однозарядных релятивистских частиц мы, следуя [4], выполнили аппроксимацию распределения рис.1 суммой трех гауссовых распределений с центрами при ожидаемых для спектаторных фрагментов значениях обраzных импульсов. Для уменьшения влияния приводимостей вовавших однозарядных фрагментов и рожденных частиц, фиттирование выполнялось в области $(1/p) < (1/p_0)$. Оцененные таким образом числа спектаторных p , d , t позволили нам вычислить средние множественности этих частиц, которые приведены в табл.1. Указанные в этой таблице величины - число статистических.

Как видно из данных табл.1, более трети однозарядных фрагментов ядра углерода ($38 \pm 2\%$) составляют ядра тяжелых изотопов водорода - дейtronы и тритоны. Отметим, что полученные нами оценки существенно превышают величину, оцененную в фотомультиционном эксперименте [7] - $17 \pm 2\%$. Возможно, это связано с большей неопределенностью выделенных соударений со свободным водородом в фотоомульции, составляющих всего около 10% полного числа неупругих взаимодействий в этой, весьма сложной мишени.

Для получения качественной информации о зависимости средних множественостей фрагментации от прицельного параметра $p_{\text{C-согласия}}$ мы рассмотрели подгруппы событий с $n_f = 0; 1$ и ≥ 2 . Если рассматривать значение n_f как грубую характеристику срецного прицельного параметра ("малые" n_f - малые прицельные параметры, "большие" n_f - большие) соударения, можно констатировать слабую зависимость как множественности фрагментации однозарядных фрагментов, так и кон- позиции ядер различных изотопов водорода, среди них - от величины n_f . Исключение составляет случаи так называемого "полного" распара ядра углерода (события с $n_f = 0$). Таких событий оказалось 279 ($\sim 1.5\%$ всех событий РС-типа); средние множественности однозарядных фрагментов в них в несколько раз превышают такие в группах реакций с

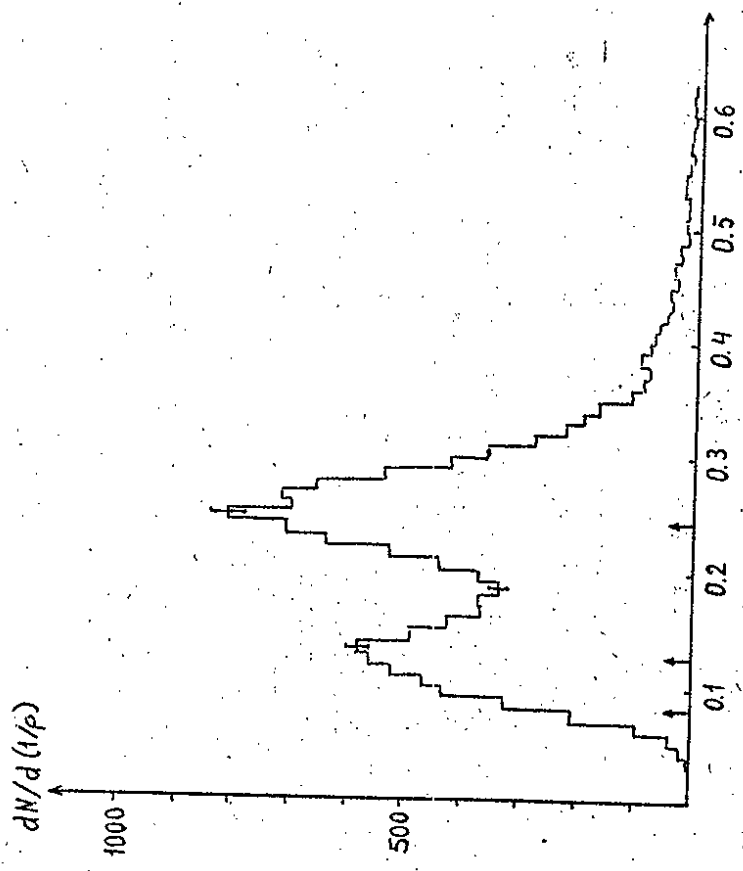


Рис.1 Распределение по $1/p$ для релятивистских однозарядных частиц с $\theta \leq 5^\circ$ в соударениях СИ при 4.2 ГэВ/с. Струйный указывает ожидаемые средние для тритонов, дейtronов и протонов спектаторов.

Таблица 1

Характеристика	Группа событий		
	$n_f = 0$	$n_f = 1$	$n_f \geq 2$
Средняя множественность ($\times 100$)			
протонов, $\langle n_p \rangle$	42 ± 1	227 ± 13	39 ± 1
дейtronов, $\langle n_d \rangle$	21 ± 1	164 ± 9	18 ± 1
тритона, $\langle n_t \rangle$	5.0 ± 0.2	4.8 ± 0.4	4.4 ± 0.2
фрагментов с $z \geq 2, \langle n_f \rangle$	123 ± 1	-	100
Доля среди фрагментов с $z = 1$ (%) :			
протонов	62 ± 2	52 ± 4	63 ± 2
дейtronов	31 ± 2	37 ± 3	30 ± 2
тритонов	7 ± 1	11 ± 3	7 ± 1

$n_f = 1$ и ≥ 2 , а композиция одноварядных фрагментов заменено изменяется в сторону увеличения доли тяжелых фрагментов до единицы, почти равного половине от полного числа фрагментов с $z = 1$. Необходимо отметить, однако, что абсолютное возрастание средних множественности одноварядных фрагментов в событиях с $n_f = 0$ в значительной степени инициировано примененными критериями отбора СН-событий (в частности, критериям б) и отсутствием информации о вардах фрагментов с $z \geq 2$, поэтому к ним следует относиться с большой осторожностью.

4 Поперечные импульсы фрагментов

Поперечные импульсы (p_T) продуктов фрагментации ядер - основной источнико-информации о волновых функциях различных внутридисперсионных "кластеров" нуклонов.

Интегральные распределения по измеренным в л.с.к. P_T для спектаторных цейтронов и тригонов из СН-событий при $p_0 = 4.2$ ГэВ/с на пучок представлены на рис.2 в качестве примиса. В табл.2 приведены средние значения $\langle p_T \rangle$ для всех типов одноварядных фрагментов в полном наборе СН-событий и подгруппах событий с $n_f = 0; 1$ и ≥ 2 .

Простейший теоретической формой p_T -спектра продукта фрагментации ядер является распределение

$$f(p_T^2) = \exp(-p_T^2/2\sigma^2), \quad (2)$$

называемое в математической статистике распределением Рейса. Это распределение соответствует нормальному парциальным распределениям $n(0, \sigma)$ по каждой из поперечных компонент p_x, p_y 3-импульса фрагмента и вытекает также из простой статистической модели прямого распада ядра [9, 10]. В масштабе рис.2 распределению (2) соответствует прямая линия. Как видно из этого рисунка, эмпирические p_T -спектры фрагментов в СН-событиях не описываются простой формой (2). Этот вывод справедлив и для всех рассмотренных подгрупп СН-событий.

Из таблицы 2 следует, что средние поперечные импульсы одноварядных фрагментов увеличиваются при уменьшении сречного прицельного параметра соударения, т.е. при переходе от периферических взаимодействий

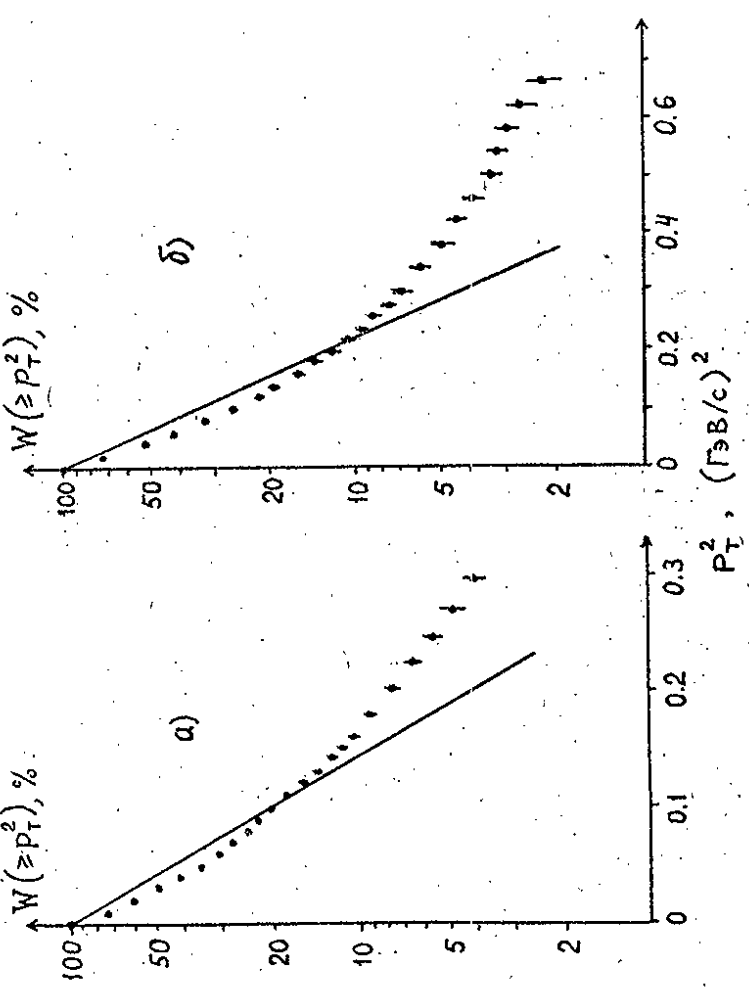


Рис.2 Примеры интегральных распределений спектаторов по p_T^2 : а) для дейтронов, б) для тритонов из полной группы СН-событий. Прямые - распределения Рейса при $\sigma = \sigma_{exp}$.

Таблица 2

Группа событий	$\langle p_T \rangle$, МэВ/с		
	p	d	t
Все СН	158 ± 1	206 ± 2	255 ± 6
$n_f = 0$	170 ± 4	214 ± 6	243 ± 13
$n_f = 1$	161 ± 1	207 ± 3	259 ± 8
$n_f \geq 2$	144 ± 2	195 ± 5	248 ± 14

"центральным". Это возрастание различно для разных масс осковидных фрагментов: при "переходе" от $n_f \geq 2$ к $n_f = 0$ (p_T) возрастает на ~ 16% для протонов, ~ 11% для дейtronов и вовсе отсутствует (в пределах ошибок измерений) - для тритонов.

Другой вывод из данных табл.2 - наличие четкой зависимости $\langle p_T \rangle$ от массы фрагмента: с увеличением m_f $\langle p_T \rangle$ возрастает. Относительные изменения $\langle p_T \rangle$ для протонов, дейtronов и тритонов удовлетворительно согласуются с ожидаемым в соответствии с параболическим законом [10]

$$\sigma_f^2 = \sigma_p^2 m_f (A_c - m_f) / (A_c - 1), \quad (3)$$

где m_f - масса фрагмента в единицах массы нуклона, $A_c = 12$ - массовое число фрагментирующего ядра, σ_f^2 и σ_p^2 - пропорциональны средним квадратам поперечных импульсов для произвольного фрагмента и протона.

В ряде работ по фрагментации релятивистских ядер-снарядов в неупругих ядро-ядерных соударениях было установлено (см., например, [11, 12]), что распад остаточных ядер происходит "на лету" и наличие "переносного" движения фрагментирующей системы существенно искаивает (вызывают) "истинные" средние значения поперечных импульсов фрагментов. Очень мало данных по этому вопросу в протон-ядерных соударениях.

На рис.3 представлено распределение по парным азимутальным углам $\varepsilon_{ij} = \arccos(\hat{p}_T \cdot \hat{p}_{Tj} / p_T p_{Tj})$ между поперечными импульсами паяреженных спектаторных фрагментов ядра углерода в нашем эксперименте. Оно характеризуется заметной азимутальной асимметрией: фрагменты чаще выпадают в одну азимутальную полуплощадь, искажи в разные стороны. В то же время закон сохранения энергии-импульса требует в случае отсутствия поперечного движения фрагментирующей системы присуществоенного вылета фрагментов в разные стороны в поперечной плоскости столкновения (т.е. максимума при $\varepsilon_{ij} \rightarrow \pi$). Таким образом, остаточные фрагментирующие ядра приобретают поперечный импульс и в соударениях с протонами.

В работе [13] была выполнена апробация приближенного висмодельного получение близких к "истинным" значений поперечных импульсов фрагментов, основанного на использовании симметричной по поперечным импульсам системы координат в поперечной плоскости столкно-

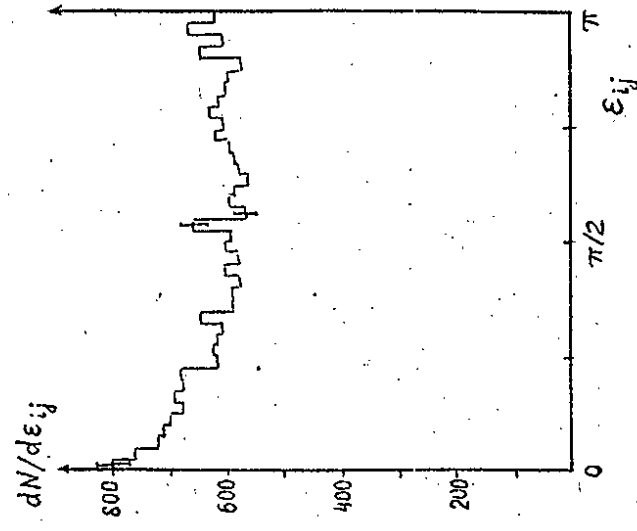


Рис.3 Распределение по парному азимутальному углу между поперечными импульсами паяреженных фрагментов из СИ-соударения.

Таблица 3

Группа событий	(p_T^*) , МэВ/с	p	d	t
Всё СИ	142 ± 1	176 ± 2	210 ± 4	
$n_f = 0$	155 ± 4	192 ± 5	202 ± 10	
$n_f = 1$	144 ± 1	175 ± 2	213 ± 5	
$n_f \geq 2$	133 ± 2	173 ± 4	203 ± 11	

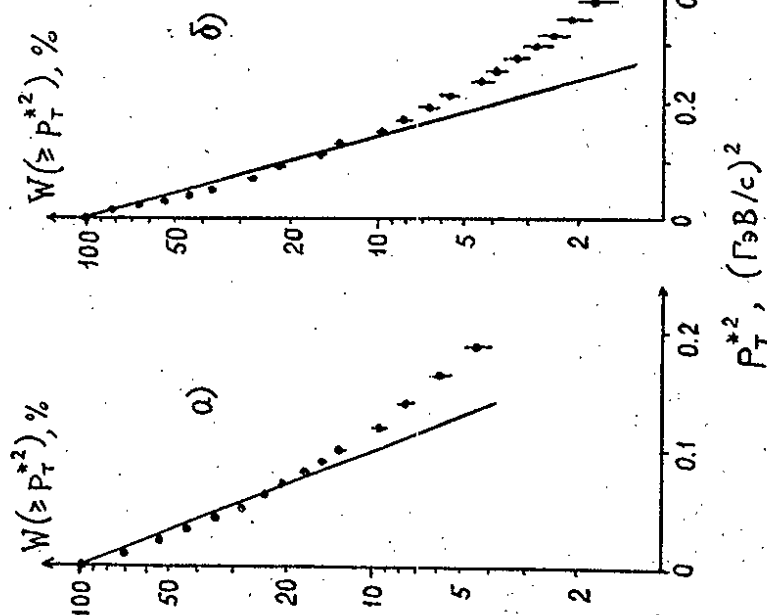


Рис.4 То же, что на рис.2 для системы координат с нулевым суммарным попаречным импульсом системы заряженных фрагментов.

Для реализации этого метода в нашем эксперименте мы осуществили переход в систему координат с нулевым суммарным попаречным импульсом системы наблюдаемых заряженных фрагментов (в событии с их числом ≥ 2): $\Sigma_i \vec{p}_{T_i} = 0$, предполагая, что все фрагменты с $z \geq 2$ суть скрещивающиеся частицы. Средние значения попаречных импульсов (p_T^*) в этой системе приведены в табл.3; на рис.4, в качестве примера, представлены распределения по $(p_T^*)^2$ для тех же фрагментов, что на рис.2 (в л.с.к.).
 Как и следовало ожидать, попаречные импульсы фрагментов при переходе от л.с.к. к S-системе заметно уменьшились. Обе характерные особенности, однако, остались выше при рассмотрении p_T -распределений

в л.с.к., сохранившись: а) для легких фрагментов (p , d) имеет место зависимость (p_T^*) от прицельного параметра соударения (взаимодействие (p_T^*) с уменьшением прицельного параметра), б) форма p_T -спектров отличается от рэлеевской, обнаруживая "избыток" частиц с большими p_T^* . Сравнивая данные рис.2 и 4 можно, однако, заметить, что отличие от распределения (2) во втором случае меньше; таким образом, видимый нестатистический "хвост" больших p_T в p_T -распределениях в л.с.к., по-видимому, частично обусловлен искривлением движением фрагментирующего остаточного ядра.

5 Заключение

Основные результаты проведенного исследования вкратце сводятся к следующему.

1. Ионизационные выходы протонов, дейтеронов, тритонов и осколков с $z \geq 2$ - продуктов фрагментации релятивистского ядра углерода при его столкновении с водородом при 4.2 ГэВ/с на пульсон. Соударения типа СИ были выделены из неупругих взаимодействий ^{12}C в плоскости (C_3H_8).
2. Исследованы распределения попаречных импульсов различных типов однонагардных фрагментов (p , d , t) в лабораторной системе и системе координат с равным нулю суммарным попаречным импульсом заряженных фрагментов. В обоих системах p_T -спектры всех рассмотренных частиц имеют "нестатистическую" форму. Часть избытка фрагментов с большими p_T в л.с.к. обусловлена попаречным движением остаточного фрагментирующего ядра.

Авторы благодарны участникам международного сотрудничества по обработке фильмовой информации с двухместровой иронановой пульсовой камеры ЛВЭ ОИИИ, принимавших участие в наборе экспериментального материала по ядро-ядерным взаимодействиям при 4.2 ГэВ/с.

Литература

1. Абдурахманов Е.О. и др. ЯФ, 1978, т.28, с.1304.
2. Ахбабян Н. и др. Препр. ОИЯИ, 1-12-114, Дубна, 1979.
3. Ахбабян Н. и др. Препр. ОИЯИ, 1-12-424, Дубна, 1979.
4. Белага В.В. и др. Препр. ОИЯИ, Р1-95-233, Дубна, 1995.
5. Армутлийски Д. и др. ЯФ, 1987, т.45, с.1047.
6. Кладицкая Е.Н. и др. Препр. ОИЯИ, 1-83-662, Дубна, 1983; Сообщ. ОИЯИ, Р1-88-412, Дубна, 1988.
7. Абдуразакова У.А. Исследование фрагментации релятивистских ядер ^{12}C , ^{22}Ne и ^{56}Fe при неупругих соударениях с водородом фотосуммомульсии. Канд. диссертация, ИЯФ АН УзССР, Ташкент, 1989.
8. Белага В.В. и др. Препр. ОИЯИ, Р1-95-218, Дубна, 1995; ЯФ (в печати)
9. Feshbach H., Huang K. Phys. Lett. B, 1973, v.47, p.300.
10. Goldhaber A.S. Phys. Lett. B, 1974, v.53, p.306.
11. Бенгус Л.Е. и др. Письма в ЖЭТФ, 1983, т.38, с.353.
12. Chernov G.M. et al. Nucl. Phys. A, 1984, v.412, p.534.
13. Бондаренко А.И. и др. ИТЭ, 1992, N 2, с.57.

Белага В.В. и др.
Фрагментационные характеристики релятивистского ядра углерода
при его взаимодействии с водородом

P1-95-289

Выполнен отбор соударений ядер углерода при $p_0 = 4,2A$ ГэВ/с со свободным водородом из неупругих взаимодействий ядер ^{12}C в пропане (C_3H_8). Измерены выходы спектаторных протонов, дейtronов, тритонов и фрагментов с $z \geq 2$ и исследованы их распределения по поперечным импульсам в лабораторной системе и в системе с нулевым суммарным поперечным импульсом заряженных фрагментов.

Работа выполнена в Лаборатории высоких энергий ОИЯИ.

Препринт Объединенного института ядерных исследований. Дубна, 1995

Перевод авторов

Belaga V.V. et al.
Fragmentation Characteristics of Relativistic Carbon Nucleus
at It's Interaction with Hydrogen

P1-95-289

The selection of the collisions of carbon nuclei at $p_0 = A$ GeV/c with the hydrogen has been made from the inelastic interactions of ^{12}C in propane (C_3H_8). We have measured the yield of protons, deuterons, tritons and fragments with $z \geq 2$ and investigated their transverse momenta distributions in the laboratory frame and in the frame with the $\sum_i \vec{p}_{T,i} = 0$ for all the charged fragments:

The investigation has been performed at the Laboratory of High Energies, JINR.
Рукопись поступила в издательский отдел
3 июля 1995 года.

Редактор М.И.Зарубина. Макет Р.Д.Фоминой

Подписано в печать 24.07.95
Формат 60×90/16. Офсетная печать. Уч.-изд.листов 1,16
Тираж 410. Заказ 48420. Цена 696 р.

**Издательский отдел Объединенного института ядерных исследований
Дубна Московской области**